



Пульс ветра
Состояние 1
Мгнов. перемещ. по Z
Единица измерения - мм

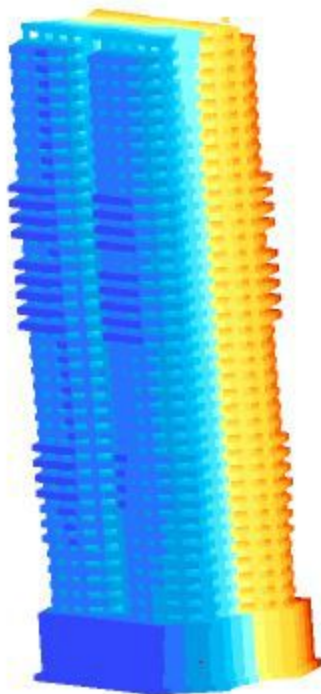


Рис. 3.4.8. Перемещения по Z от пульсации ветра

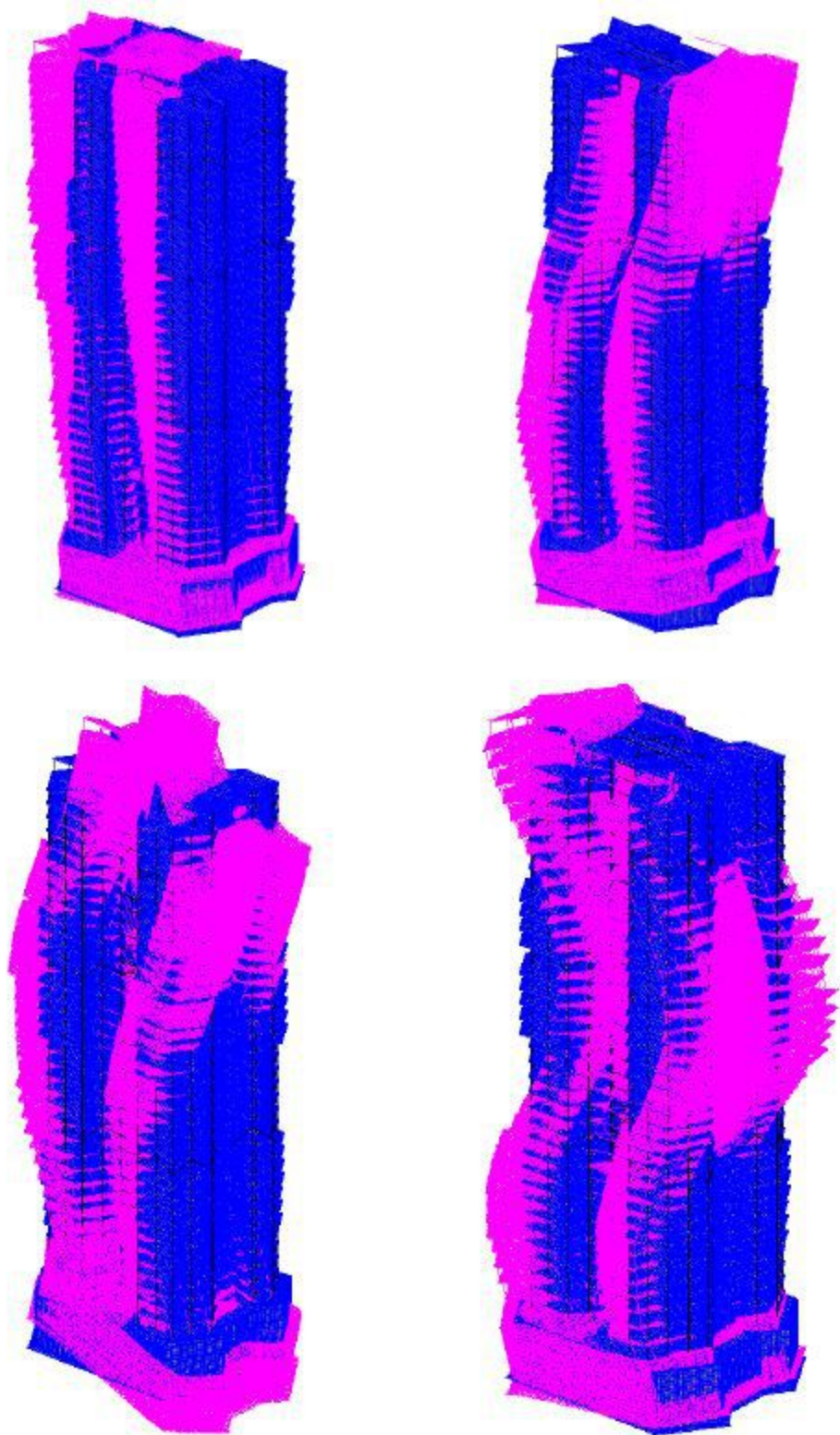


Рис. 3.4.12. Формы колебаний от сейсмической нагрузки

Рис. 3.4.15. Мозаика N в нижних колоннах башни

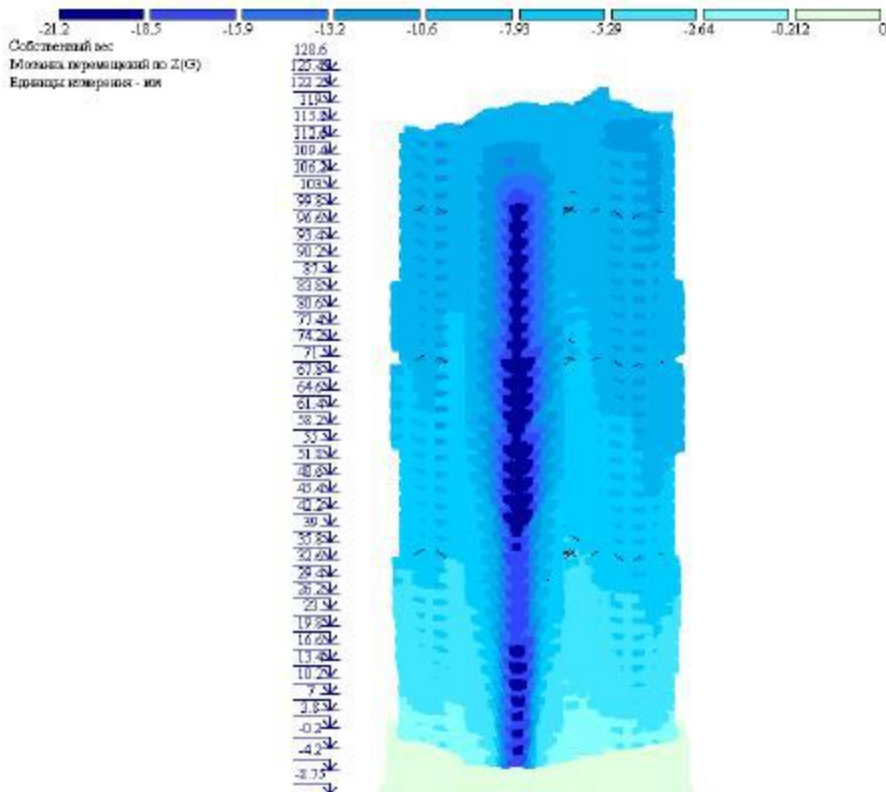


Рис. 3.4.16. Изополя вертикальных перемещений перекрытий после удаления колонны

Технологическая последовательность возведения подземного объема здания

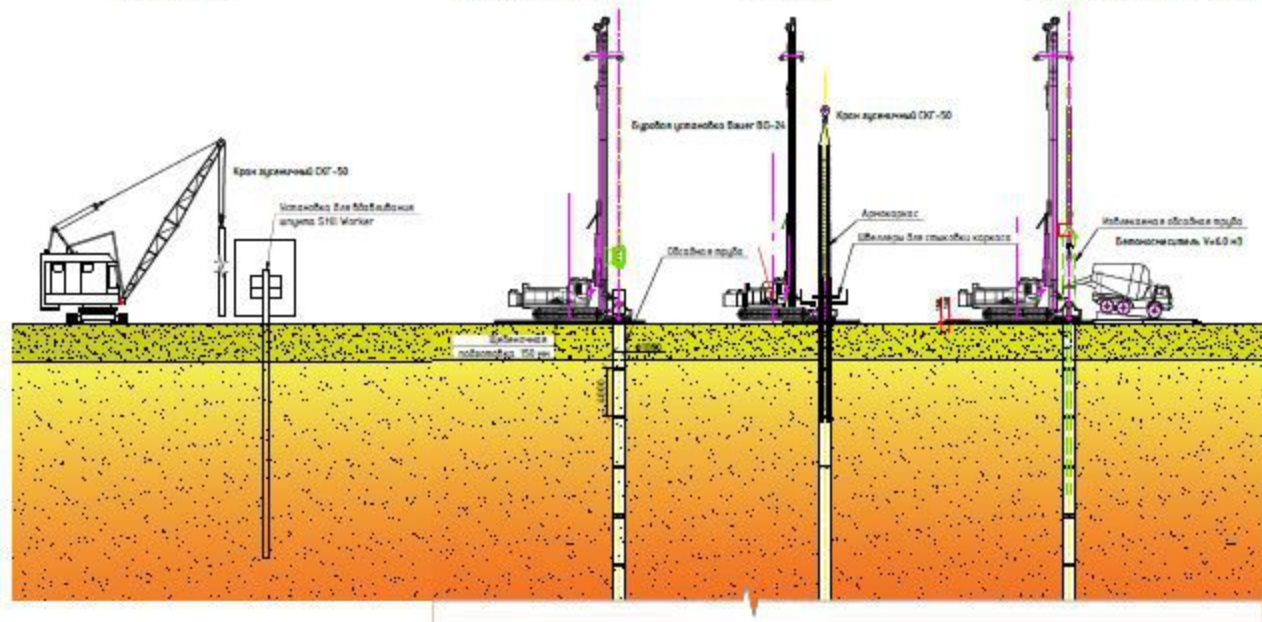
Этап 1-2. Устройство ограждения и буронабивных свай

Устройство шпунтового ограждения

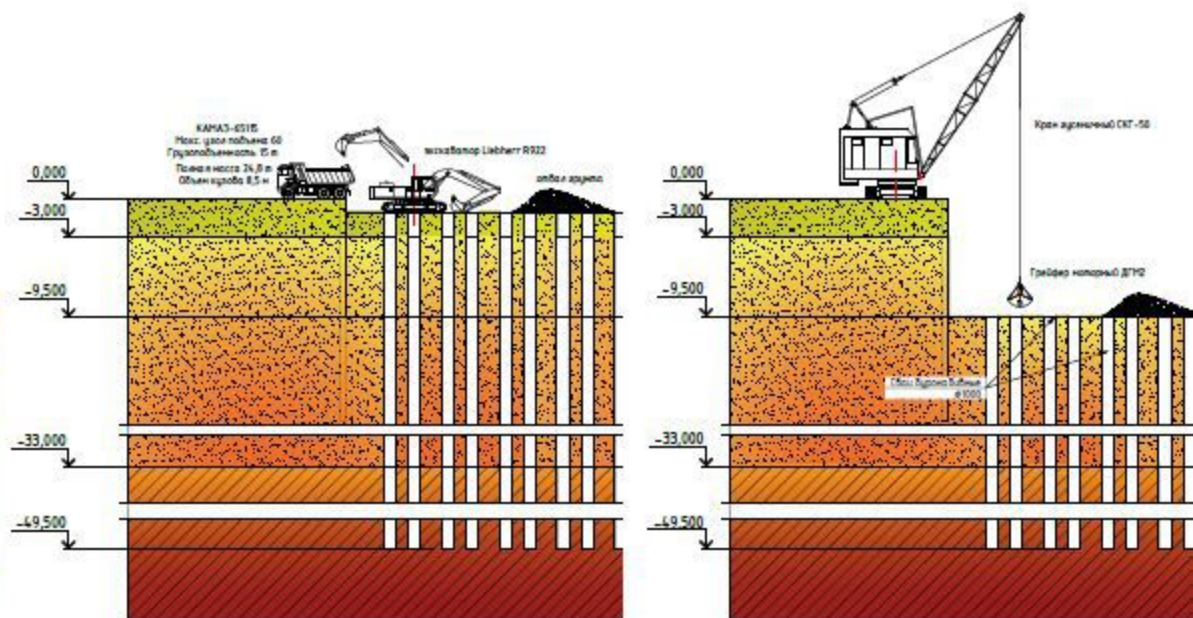
Погружение обсадных труб и бурение скважины

Установка арматурного каркаса

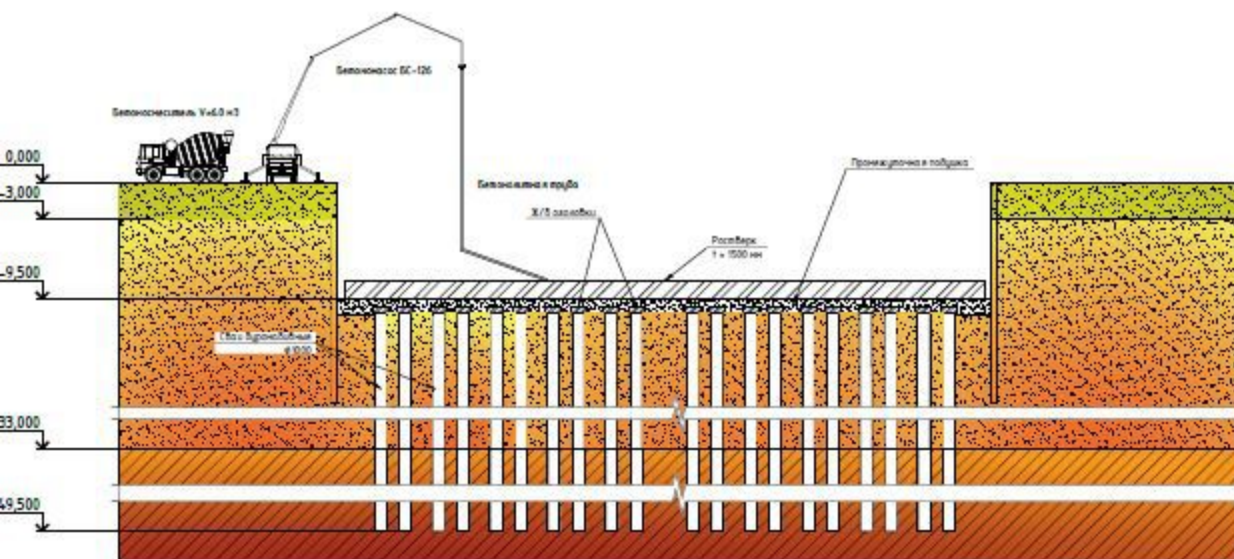
Бетонирование скважины ВПТ и извлечение обсадных труб



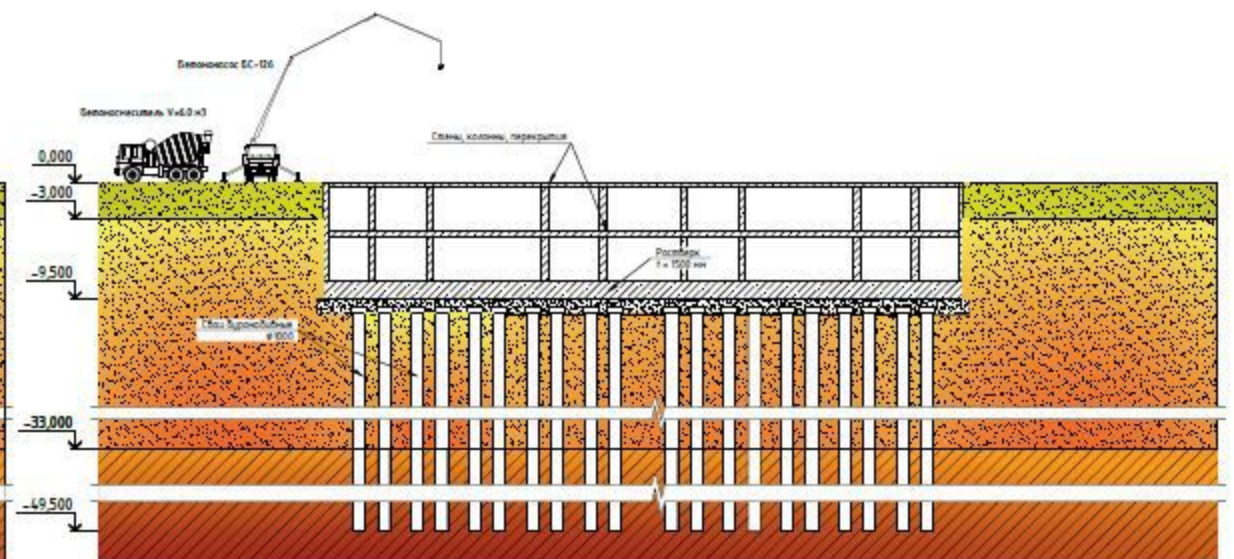
Этап 3. Разработка котлована экскаваторами и грейферами Постепенная срезка голов свай гидравлической насадкой

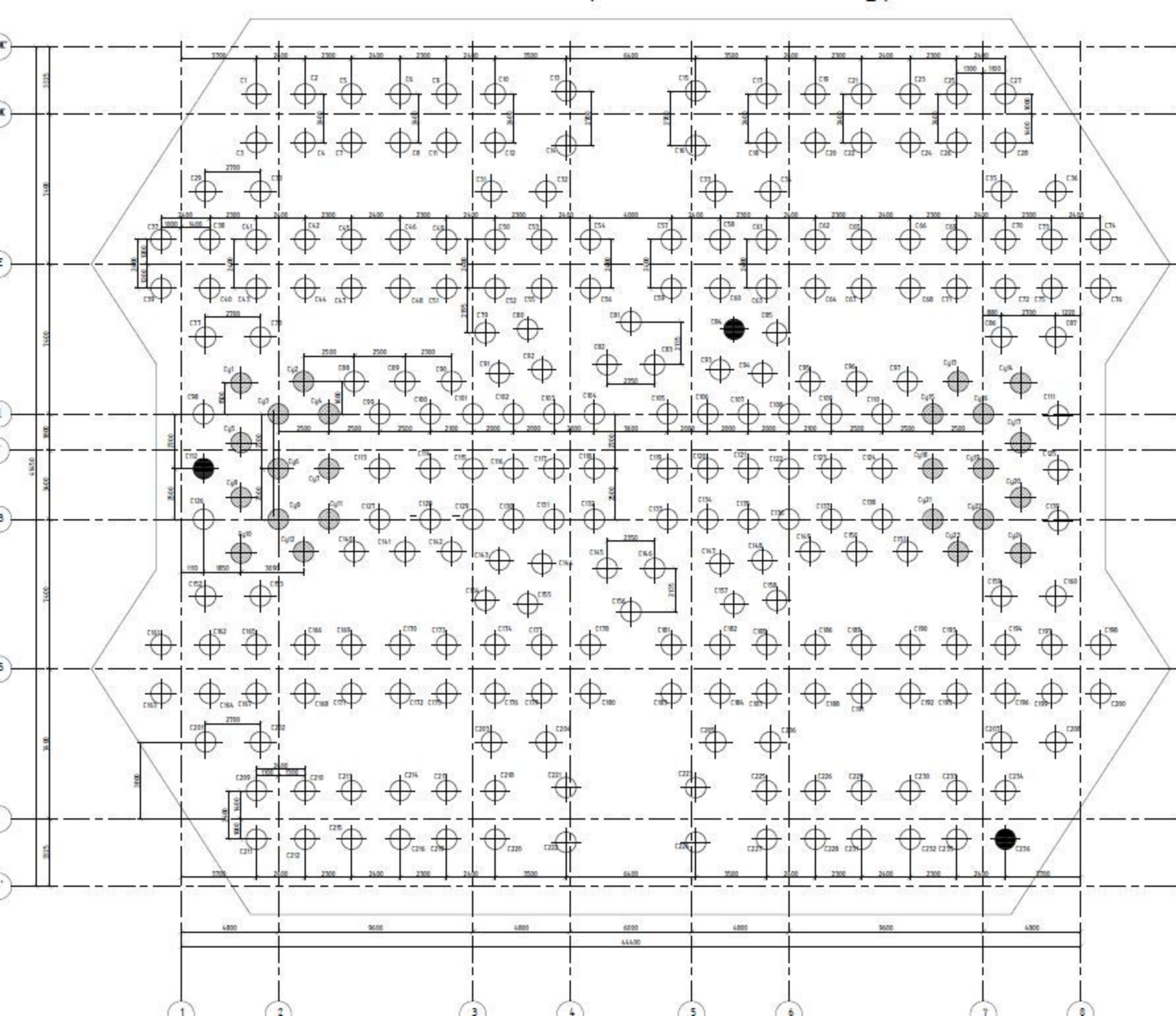


Этап 4. Устройство подушки и ж/б оголовков. Устройство монолитной плиты ростверка



Этап 5. Возведение стен, колонн и перекрытий.

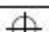





Условные обозначения

-  свая, изготовленная столбчатой заливкой
-  рабочие буронабивные сваи с уширением
-  рабочие буронабивные сваи

Экспликация свай

№ сваи	Условное обозначение	Марка сваи	Сечение сваи, мм	Длина сваи, мм	Кол. шт.	Абс. отн. верха сваи при изз.	Абс. отн. верха сваи в разрезе
C1-C83, C85-C111, C113-C235		БСН-483.62	φ1030	43000	233	0.000	-10.600
C12-C124		БСН-483.62	φ1030/φ1200 (ширина 1800)	43000	24	0.000	-10.600
C84, C112, C236		БСН-483.62	φ1030	43000	3	0.000	-10.600

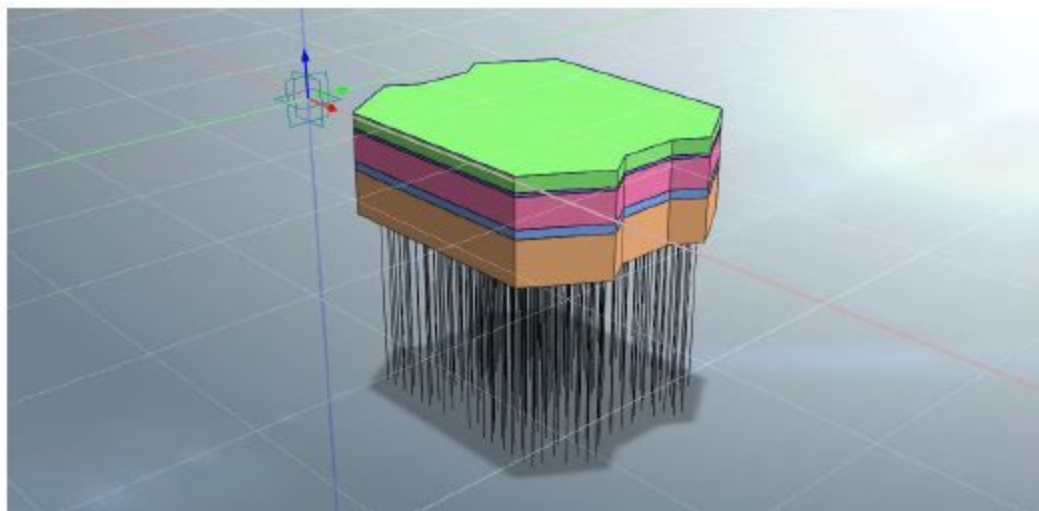


Рис. 36. Общий вид расчётной схемы в Midas GTS NX.

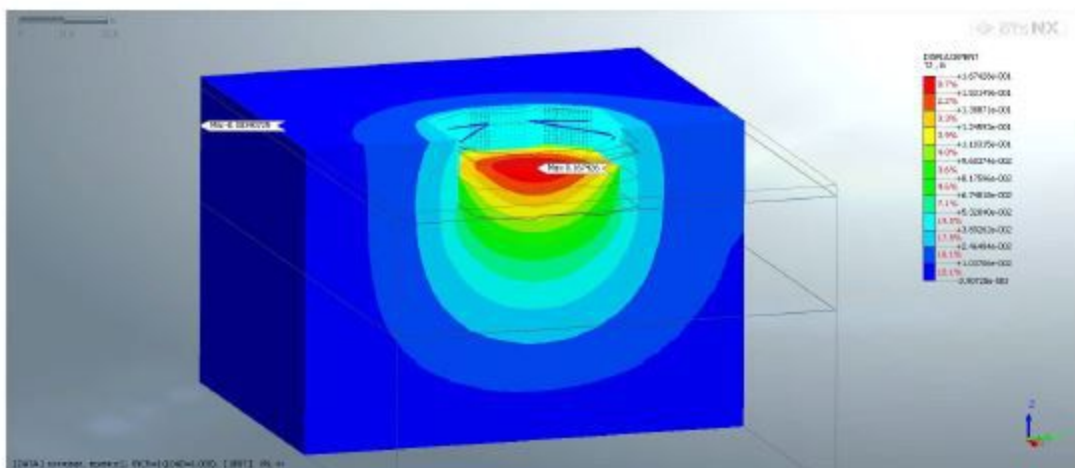


Рис. 37. Постадийная откопка котлована и вертикальные деформации

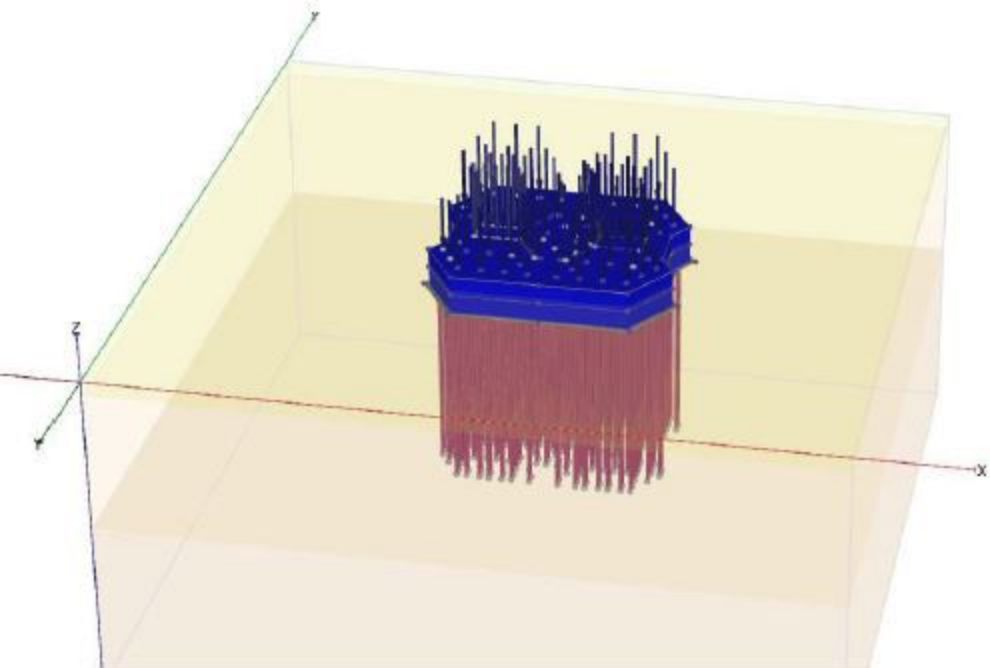


Рис. 31. Общій вид расчётной схемы в Plaxis 3D

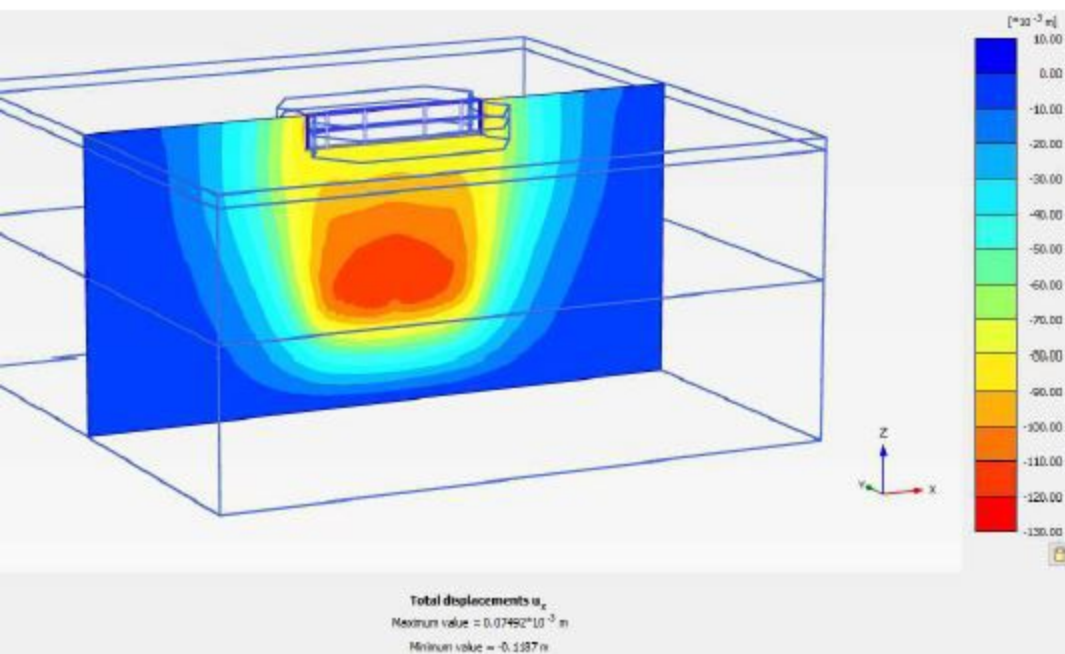


Рис. 32. Распределение осадок вдоль оси x